



Многомерные аналоги уравнений Гельфанда–Левитана–Крейна–Марченко

С.И. Кабанихин, М.А. Шишленин, Н.С. Новиков

Институт математики им. С.Л. Соболева СО РАН

Новосибирский государственный университет

Институт вычислительной математики и математической геофизики СО РАН

XVI Забабахинские Научные Чтения

29 мая – 2 июня 2023

РФЯЦ-ВНИИТФ, Снежинск

Постановки обратных задач

Дифференциальная

$$L_q u = g, Pu = f$$

Конечно-разностная

$$L_q^h u^h = g^h, P^h u^h = f^h$$

Операторная

$$A(q) = f$$

Вариационная

$$J(q) = \|A(q) - f\|^2$$

Теория: теоремы единственности и оценки условной устойчивости.

Kabanikhin S.I., Satybaev A.D., Shishlenin M.A. *Direct Methods of Solving Inverse Hyperbolic Problems*. VSP, The Netherlands, 2004.

Кабанихин С.И. Бектемесов М.А., Аяпбергенова А.Т. Итерационные методы решения обратных и некорректных задач, Алматы, Наука, 2004.

Численные методы

Метод обращения конечно-разностной схемы

Линеаризация

$$q_1 = [A'(q_0)]^{-1} f_1$$

Метод Ньютона-Канторовича

$$q_{n+1} = q_n - [A'(q_n)]^{-1} (A(q_n) - f)$$

Градиентные методы:

- метод простой итерации

$$q_{n+1} = q_n - \alpha [A'(q_n)]^* (A(q_n) - f)$$

- метод наискорейшего спуска

$$q_{n+1} = q_n - \alpha_n J'(q_n),$$
$$\alpha_n = \arg \min_{\alpha > 0} J(q_n - \alpha J'(q_n))$$

Метод Гельфанда-Левитана-Крейна

Метод граничного управления

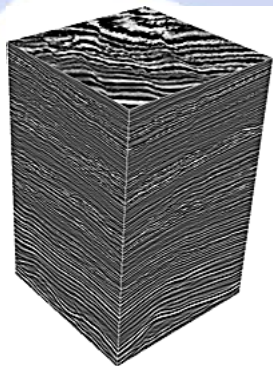
Сейсморазведка

- Начало 20-ых годов прошлого века. Регистрация и анализ искусственно возбуждаемых упругих волн.
- Глубинное строение Земли.
- Месторождения полезных ископаемых (в основном нефти и газа).
- Задачи гидрогеологии и инженерной геологии.
- Сейсмическое микрорайонирование.

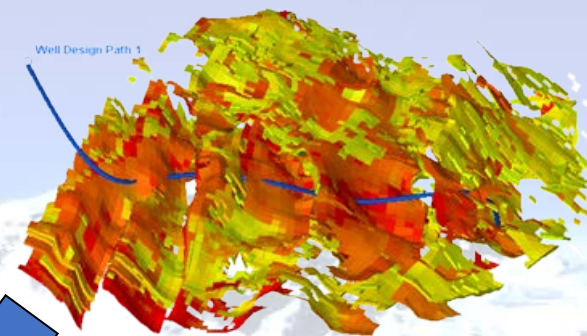
Сейсморазведка отличается высокой разрешающей способностью, технологичностью и большим объёмом получаемой информации.



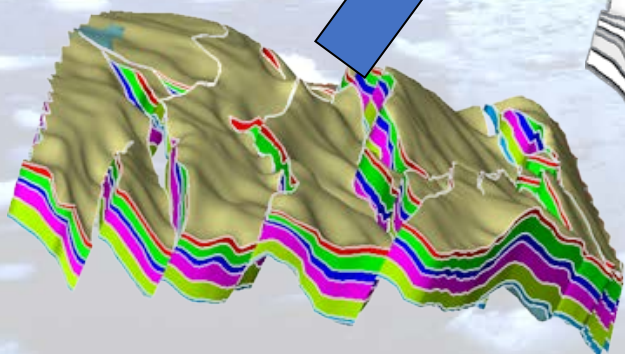
Сейсмические данные



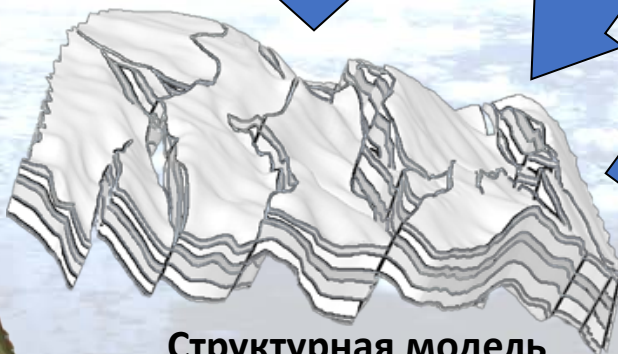
Деконволюция. Фильтрация



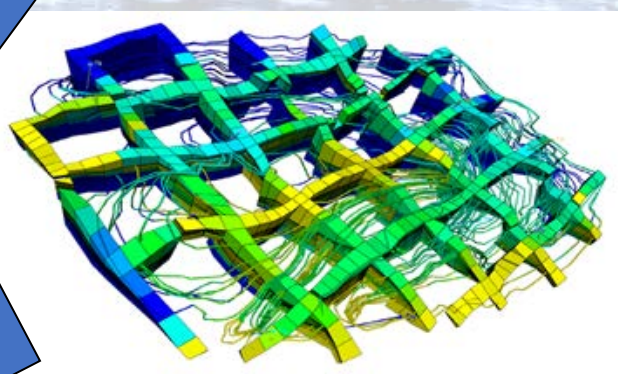
Бурение и коррекция



Первичная скоростная модель



Структурная модель



Моделирование нефтяного резервуара



Метод Гельфанда-Левитана-Крейна-Марченко

Преимущества:

Метод позволяет обойти нелинейность задачи - нелинейная обратная задача сводится к системе линейных интегральных уравнений

Метод ГЛК в некотором смысле является прямым методом - нет необходимости решать прямую задачу (нет итерационного процесса)

И.М. Гельфанд и Б.М. Левитан (1951), М.Г. Крейн (1954) - первые результаты (спектральные обратные задачи)

В.А. Марченко (1950-е гг.) - обратная задача рассеяния

А.С. Алексеев (1960-е гг.) – обратная задача сейсмоки (А. С. Благовещенский, В. И. Добринский, В. Gopinath, М. Sondhi, R. Burridge, W.W. Symes и т.д.)

М.И. Белишев (1987), С.И. Кабанихин (1988) – двумерные аналоги

М.В. Клибанов (2005) - глобально сходящийся метод.

S.I. Kabanikhin. On linear regularization of multidimensional inverse problems for hyperbolic equations. Doklady RAS. Vol. 309, No. 4 (1989).

S.I. Kabanikhin, A.D. Satybaev, M.A. Shishlenin. Direct Methods of Solving Multidimensional Inverse Hyperbolic Problems. VSP, The Netherlands, 2004.

E. Fermi, J. Pasta, S. Ulam (1954). Численно исследована одномерная динамическая система, состоящая из 64 взаимодействующих частиц друг с другом и содержащих нелинейные члены, на MANIAC I в Лос-Аламосе. Нелинейные члены считались квадратичными, кубическими и кусочно-линейными. Коэффициенты Фурье строятся как функции времени. Численные расчеты показали тенденцию к равномерному распределению энергии по степеням свободы.

M.D. Kruskal, Zabusky (1964) нашли путем численного моделирования, что солитоны в КдФ эластично сталкиваются, что привело к открытию бесконечной серии законов сохранения.

C.S. Gardner, J.M. Green, M.D. Kruskal, R.M. Miura (1967) предложили метод обратной задачи рассеяния для интегрирования уравнения Кортевега-де Фриза.

$$u_t - 6uu_x + u_{xxx} = 0,$$

$$u(x, 0) = f(x)$$

Уравнение Кортевега-де Фриза проинтегрировано на основе перехода от потенциала одномерного уравнения Шредингера

$$-\frac{d^2\psi}{dx^2} + q(x)\psi = k^2\psi$$

Задача Коши

$$u_t - buu_x + u_{xxx} = 0,$$
$$u(x, 0) = f(x)$$

Решение задачи Коши $u(x, t)$

Данные рассеяния
 S_0 по известной $f(x)$

Обратная задача.
Решение уравнения
Гельфанда-Левитана-Марченко

Данные рассеяния
 S_0

Данные рассеяния
 $S(t)$

для $t = 0$:

Для произвольного t

Метод обратной задачи рассеяния

Распространение сигнала в одномодовом оптическом волокне под действием вынужденного комбинационного рассеяния описывает обобщенное нелинейное уравнение Шредингера в скалярной форме

$$\frac{\partial A}{\partial z} = -i\beta_2 \frac{\partial^2 A}{\partial t^2} + i\beta_3 \frac{\partial^3 A}{\partial t^3} + i\gamma \left(1 + \frac{i}{\omega} \frac{\partial}{\partial t} \right) \left(A(z, t) \int_0^{\infty} R(\tau) |A(z, t - \tau)|^2 d\tau \right)$$

$A(z, t)$ медленно меняющееся электромагнитное поле, β_2 и β_3 коэффициенты дисперсии второго и третьего порядка в окрестности частоты ω и т.д.

Начальное условие $A(0, t) = A_0(t)$

Уравнение Гельфанда-Левитана-Марченко

$$M(t, \tau) + \int_t^{\infty} R(\tau + y) M(t, y) dy = 0$$

В волоконном лазере две волны с одинаковыми частотами и поляризационными состояниями распространяются вдоль оптического волокна в противоположных направлениях и взаимодействуют друг с другом из-за фазовой кросс-модуляции. Амплитуды прямой и обратной волн удовлетворяют системе связанных нелинейных уравнений Шредингера с потерями и усилением:

$$\frac{\partial A^+}{\partial z} + \beta_1 \frac{\partial A^+}{\partial t} + i \frac{\beta_2}{2} \frac{\partial^2 A^+}{\partial t^2} = i\gamma(|A^+|^2 + 2|A^-|^2)A^+,$$

$$\frac{\partial A^-}{\partial z} + \beta_1 \frac{\partial A^-}{\partial t} + i \frac{\beta_2}{2} \frac{\partial^2 A^-}{\partial t^2} = i\gamma(|A^-|^2 + 2|A^+|^2)A^-.$$

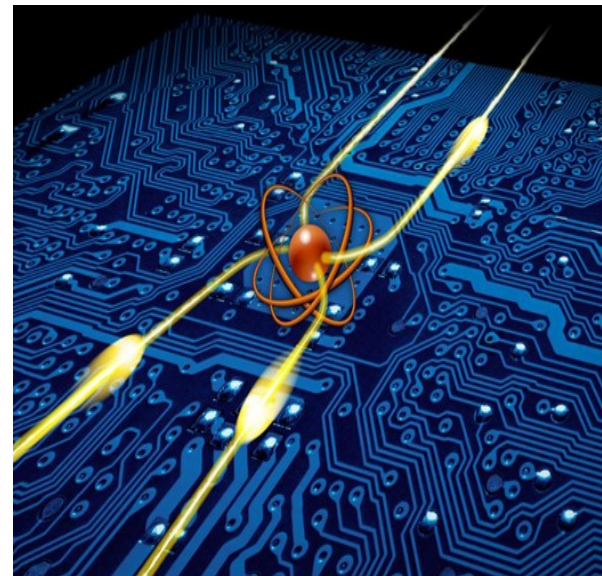
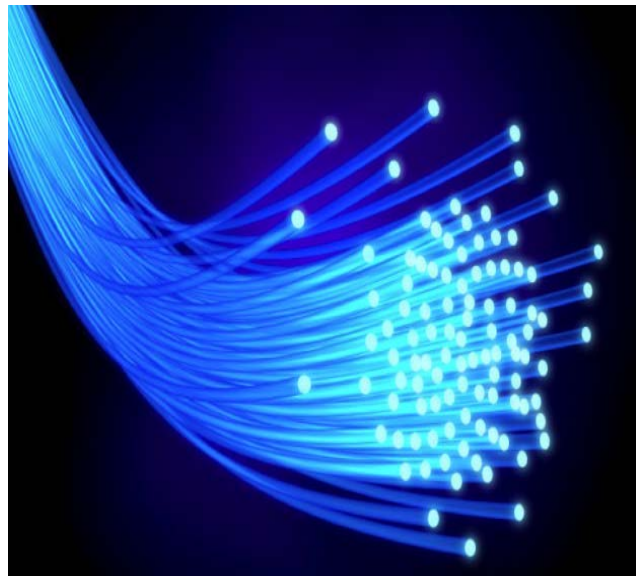
Здесь «+» и «-» обозначают волны, распространяющиеся в прямом и обратном направлениях, β_1 и β_2 - коэффициенты дисперсии первого и второго порядка, γ - нелинейный коэффициент.

$$M_1(t, \tau) + \int_t^\infty R(\tau + y) M_2(t, y) dy = 0, \quad \mp M_2(t, \tau) + R(t + \tau) + \int_t^\infty R(\tau + y) M_1(t, y) dy = 0.$$

Разработка методов решения уравнений ГЛК

Позволяет исправить искажения сигнала в оптических системах передачи данных. Результаты моделирования и практические эксперименты показали уникальную производительность канала: при сохранении качества передаваемого сигнала его скорость передачи превысила текущие показатели передачи лучших существующих коммерческих систем в 24 раза и составила 240 Гбит / с.

На социальном уровне повышенная скорость передачи данных откроет новую эру для больших данных и Интернета вещей (IoT). В случае реализации технологии около 10 тысяч человек смогут передавать 4K-видео в одно и то же время, что, по сравнению с текущей скоростью, доступно только для 400 человек.



Площадная система наблюдений

Большинство известных из мировой практики работ по площадным системам нашли применение в относительно сложных сейсмогеологических условиях.

Как правило, применяемые системы являются регулярными, а расстояние между точками наблюдений обычно **50 м** или **25 м**.

Известны примеры и более густых сеток пространственных наблюдений в случае детальных работ.

Контроль за разработкой месторождений углеводородов в штате Луизиана (США): шаг между точками **10 м**.

Разведка на уголь в Рурском бассейне (Германия): шаг между точками **2.5 м**.

Трудоемкость решения прямой задачи сейсмоки

Сейсмические волны проходят через исследуемые объекты, рассеиваются, отражаются и приносят информацию на поверхность Земли об искомым объектах.

Обычно обратные задачи решаются методом минимизации целевого функционала.

На каждом этапе итерационного алгоритма минимизации функционала необходимо решать прямые задачи.

В 3D решение прямой задачи очень трудоемкая операция.

- 2 км x 2 км, шаг сетки = 1 метр.
- Серия прямых задач решена на кластере на одном узле (20 ядер).
- Решение для одного источника занимает 30 минут на 20 ядрах.
- Решение для 40 источников на одном узле занимает 20 часов.
- Оценка времени решения 3D задачи 50 000 часов или 6 лет (20 ядер) – 1 источник.

Постановка обратной задачи

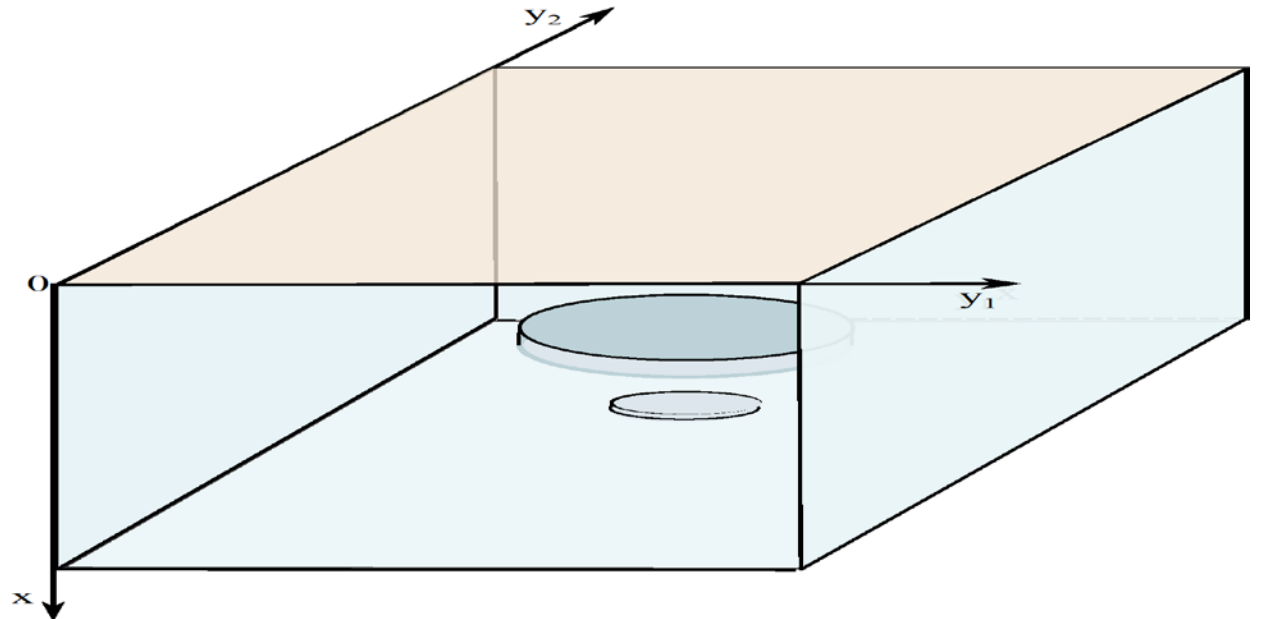
$$u_{tt}^{(k)} = \Delta u^{(k)} - \nabla \ln \rho(x, y, z) \nabla u^{(k)},$$

$$u^{(k)}|_{t < 0} \equiv 0,$$

$$u_x^{(k)}(0, y, t) = h^{(k)}(y) \delta(t).$$

Требуется определить плотность $\rho(x, y, z)$ по дополнительной информации, заданной на поверхности $z = 0$.

$$u^{(k)}(0, y, t) = f^{(k)}(y, t).$$



3D аналог уравнения М.Г. Крейна

$$2\Phi^{(k)}(x, t) - \sum_m \int_{-x}^x f_m^{(k)'}(t-s)\Phi^{(m)}(x, s) ds = - \int_{-\pi}^{\pi} \frac{e^{i(k, y)}}{\rho(0, y)} dy,$$
$$t \in (-x, x), \quad y_j \in (-\pi, \pi), \quad j = 1, 2, \quad k \in \mathbb{Z}^2.$$

$$\rho(x, y) = - \frac{\pi^2}{\rho(0, y)} \left[\sum_m \Phi^{(m)}(x, x-0) e^{-i(m, y)} \right]^{-2}.$$

Решение обратной задачи сейсмоки для горизонтально-слоистых сред

- Определение коэффициентов системы динамических уравнений теории упругости:

$$(\lambda + \mu) \operatorname{grad} \operatorname{div} \mathbf{U} + \mu \Delta \mathbf{U} + \operatorname{grad} \lambda \operatorname{div} \mathbf{U} + \sum_{l=1}^3 \operatorname{grad} \mu \left(\frac{\partial \mathbf{U}}{\partial x_l} + \operatorname{grad} \mathbf{U}_l \right) \mathbf{e}_l = \rho \frac{\partial^2 \mathbf{U}}{\partial t^2};$$

$$\mathbf{U}(x, y, z, t) |_{t < 0} \equiv 0;$$

$$\sigma_z |_{z=0} = g_1(x, y, t), \tau_{xz} |_{z=0} = g_2(x, y, t), \tau_{yz} |_{z=0} = g_3(x, y, t);$$

$$\mathbf{U}(x, y, 0, t) = \mathbf{F}(x, y, t)$$

Функция \tilde{q}_k связана с параметрами среды (скорость распространения волн, плотность)

$$A_k(x, y) + K_k(x, y) + \int_0^x K_k(x, s) A_k(y, s) ds = 0, \quad y \leq x; \quad \tilde{q}_k(x) = 2 \frac{dK_k(x, x)}{dx}$$

Дискретизация уравнения М.Г. Крейна

После дискретизации перейдем к СЛАУ:

$$(2I - hA)\Phi = G$$

$$A = \begin{vmatrix} F(0) & F(-h) & \dots & F((2n-1)h) \\ F(h) & F(0) & \dots & F((2n-2)h) \\ \vdots & \vdots & \ddots & \vdots \\ F((2n-1)h) & F((2n-2)h) & \dots & F(0) \end{vmatrix}$$

Матрица имеет размерность $n(2N + 1)$, где n размерность сетки, N число источников и приемников.

В 2D в области $3 \times 3 \text{ км}^2$ с шагом 5м и 50 источников и приемников, матрица имеет размерность $120\,000^2$.

Для куба $3 \times 3 \times 3 \text{ км}^3$ – матрица имеет размерность $12\,000\,000^2$.

Обращение треплицевой матрицы

$$A = \begin{pmatrix} a_0 & a_1 & \dots & a_{n-1} \\ a_{-1} & a_0 & \dots & a_{n-2} \\ \dots & \dots & \dots & \dots \\ a_{-n} & a_{-n+1} & \dots & a_0 \end{pmatrix} = (a_{i-j})_{i,j=1..n}$$

СЛАУ с треплицевой матрицей описывается $O(n)$.

Первый метод обращения - Levinson, 1947.

Используя треплицевость:

-“Быстрые” методы: $O(n^2)$ операций (Levinson, Durbin, Trench, Zohar, Chandrasekaran, Sayed, Gohberg, Kailath, Olshevsky, Gu ...)

-“Супербыстрые” методы: $O(n \log^p n)$ операций, $O(n)$ памяти (Martinson, Tygert, Rokhlin, Ammar, Gragg, Stewart, Codevico, van Barel, Heinig, Chandrasekaran, Gu, Xia, Zhu ...)

Супербыстрые преобуславливатели : $O(n \log n)$ операций, $O(n)$ памяти (Chan, Chan, Strang, Yeung, Di Benedetto, Jin, Kailath, Olshevsky, Ku, Kuo, Strela, Tyrtyshnikov, ...)

Методы обращения: типа Levinson – факторизация A^{-1} , типа Schur – факторизация A .

Мы используем обращение блочно-треплицевой матрицы быстрым методом, предложенным В.В. Воеводиным и Е.Е. Тыртышниковым.

Решение обратной задачи в точке x требует $O(N^2 n^2)$ операций ($O(N^3 n^3)$ - стандартный).

Решение обратной задачи на отрезке $(0, x)$ требует $O(N^2 n^2)$ операций ($O(N^3 n^4)$).

Сингулярное разложение матрицы.

Современные алгоритмы: число операций $O(n^3)$, требуется $O(n^2)$ памяти (Intel MKL).

Супербыстрые алгоритмы, использующие структуру теплицевых матриц, опираются на теорему И.Ц. Гохберга и А.А. Семенцула (1972): $O(n \log n)$ операций, требуется $O(n)$ памяти.

Метод сингулярного разложения позволяет найти решение обратной задачи в одной точке x_0 . Чтобы найти решение обратной задачи в точке $x_1 \neq x_0$, необходимо снова применять SVD.

Теплицева структура матрицы для уравнения ГЛК позволяет не только найти решение в точке x_0 , но и восстановить решение на всем интервале $(0, x_0)$.

Обращение теплицевой матрицы

Стандартный **метод Гаусса**: $O(n^3)$ операций.

Использование структуры матрицы:

Быстрые методы: $O(n^2)$ операций.

Levinson, Durbin, Trench, Zohar, Chandrasekaran, Sayed, Gohberg, Kailath, Olshevsky, Gu .

Супербыстрые методы: $O(n \log^p n)$ операций, $O(n)$ памяти.

Martinsson, Tygert, Rokhlin, Ammar, Gragg, Stewart, Codevico, van Barel, Heinig, Chandrasekaran, Gu, Xia, Zhu.

Супербыстрые предобуславливатели: $O(n \log n)$ операций, $O(n)$ памяти.

Chan, Chan, Strang, Yeung, Di Benedetto, Jin, Kailath, Olshevsky, Ku, Kuo, Strela, Tyrtyshnikov.

Решение СЛАУ

Рассмотрим решение специального вида СЛАУ $Aq = f$.

Для всех $k = 0, \dots, n - 1$ рассмотрим систему $A_k q^k = f^k$, где $f^k = \begin{bmatrix} f_0 \\ f_1 \\ \dots \\ f_{k-1} \end{bmatrix}$. Тогда $f^{n-1} = f$, $q^{n-1} = q$.

$$A^k \begin{bmatrix} q_0^{k-1} \\ \dots \\ q_{k-1}^{k-1} \\ 0 \end{bmatrix} = \begin{bmatrix} f_0^{k-1} \\ \dots \\ f_{n-1}^{k-1} \\ \epsilon_q^{k-1} \end{bmatrix}$$

Величины ϵ_q^{k-1} вычисляются похожим образом, как и ϵ_x, ϵ_z . q^k находится из следующего уравнения:

$$q^k = \begin{bmatrix} q_0^k \\ \dots \\ q_{k-1}^k \\ q_k^k \end{bmatrix} = \begin{bmatrix} q_0^{k-1} \\ \dots \\ q_{k-1}^{k-1} \\ 0 \end{bmatrix} + (f_k - \epsilon_q^k) z^k$$

ГЛК-уравнение для $x = L$ решается с помощью этого методом, при этом рекурсия позволяет найти решение ГЛК-уравнения для всех $x < L$.

Метод Монте-Карло

Систему интегральных уравнений

$$\varphi_i(x) = \sum_{j=1}^m \int_X k_{ij}(x, y) \varphi_j(y) dy + h_i(x)$$

запишем в иде: $\Phi = K\Phi + H$

Цепь Маркова $\{x_n\}, n = 0..N$, соответствует плотности $p(y, x)$, N – случайное число обрыва цепи в точке, $x_0 \equiv x$. Рассмотрим случайную величину

$$\xi_x = H(x) + \sum_{n=1}^N Q_n H(x_n)$$

Здесь

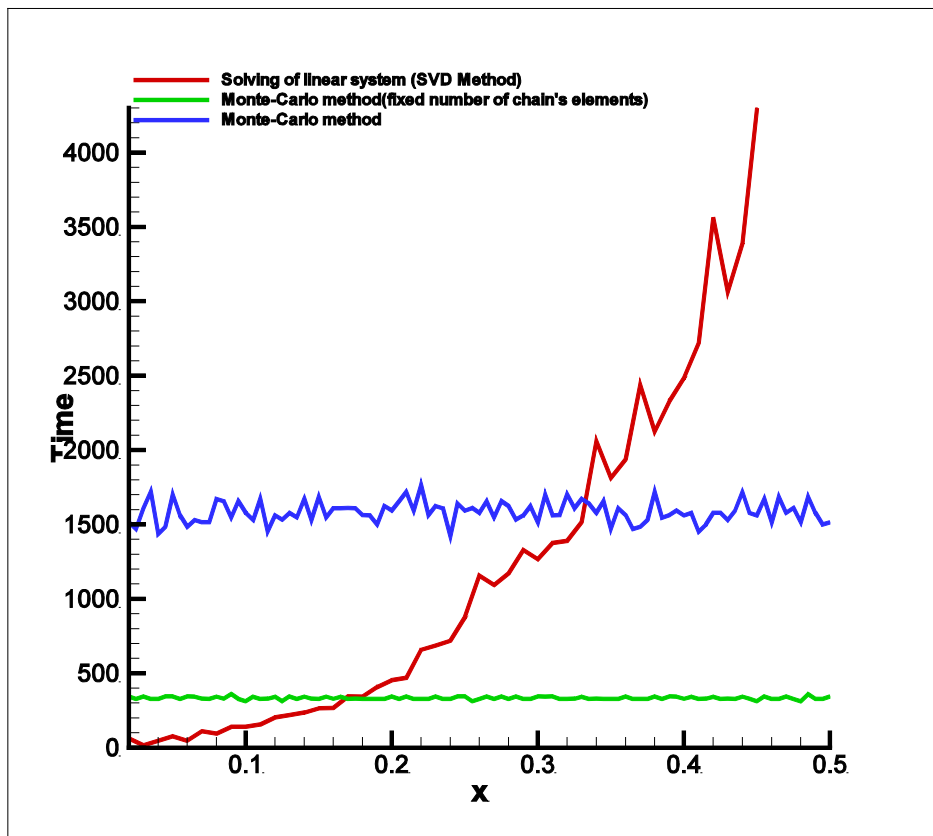
$$Q_0 = I, Q_{n+1} = Q_n \frac{K(x_n, x_{n+1})}{p(x_n, x_{n+1})}$$

Приближенное решение получается по формуле для ξ_x :

$$\Phi(x) = E \xi_x \approx \frac{\xi_1 + \dots + \xi_M}{M}$$

S.I.Kabanikhin, K.K.Sabelfeld, N.S.Novikov, M.A.Shishlenin, Numerical solution of the multidimensional Gelfand–Levitan equation, *J. Inverse Ill-Posed Probl.*, Vol. 23, 2015, no.5.

S.I.Kabanikhin, K.K.Sabelfeld, N.S.Novikov, M.A.Shishlenin, Numerical solution of an inverse problem of coefficient recovering for a wave equation by a stochastic projection methods, *Monte Carlo Methods Appl.*, Vol. 21, 2015, no.3.



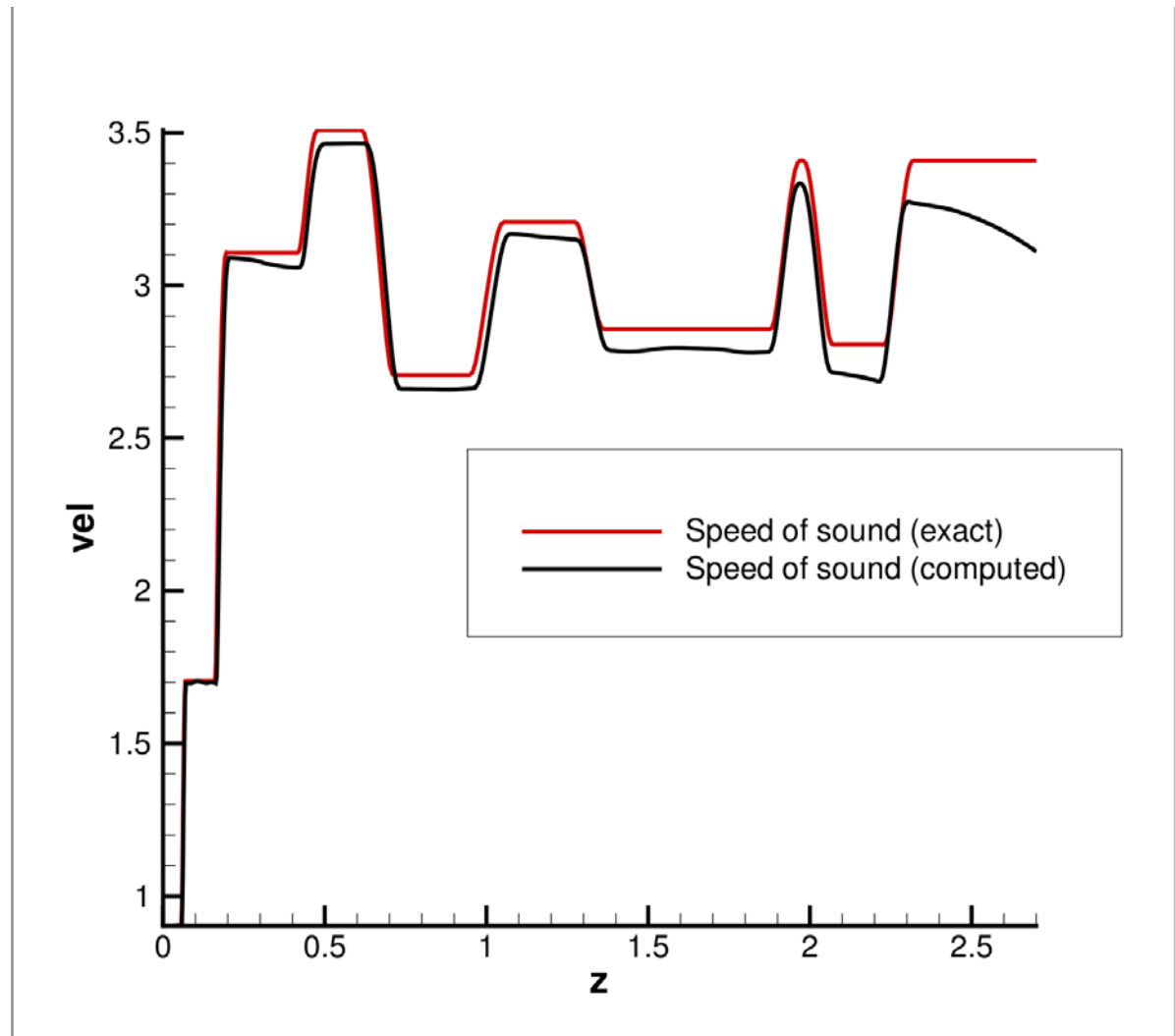
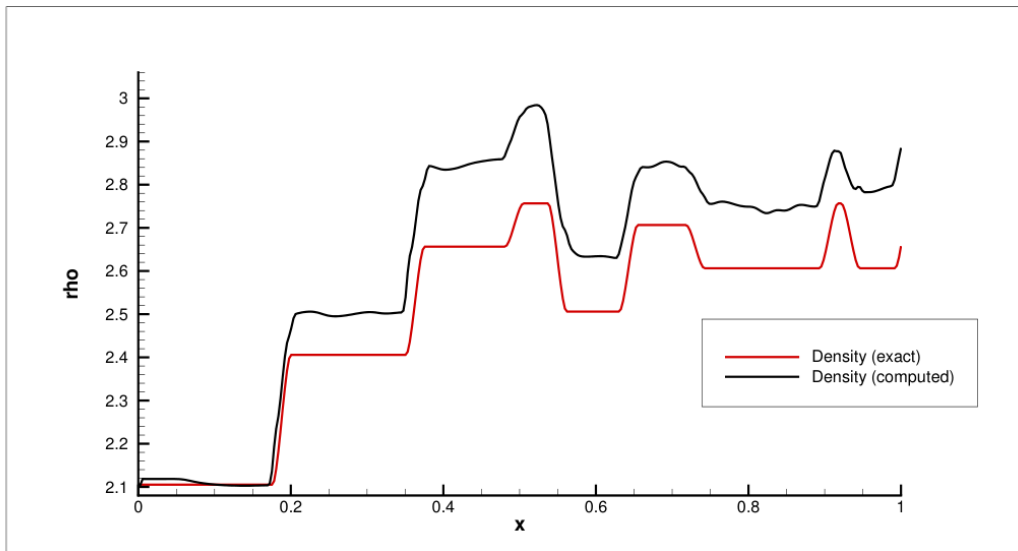
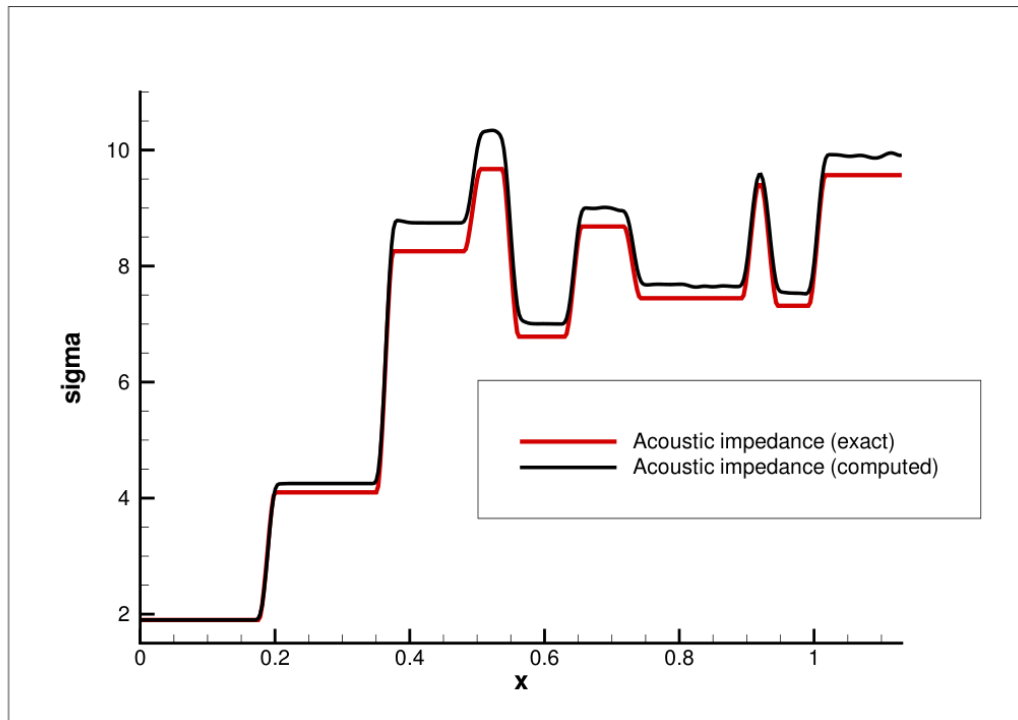
Затраты времени ЭВМ (в мс):

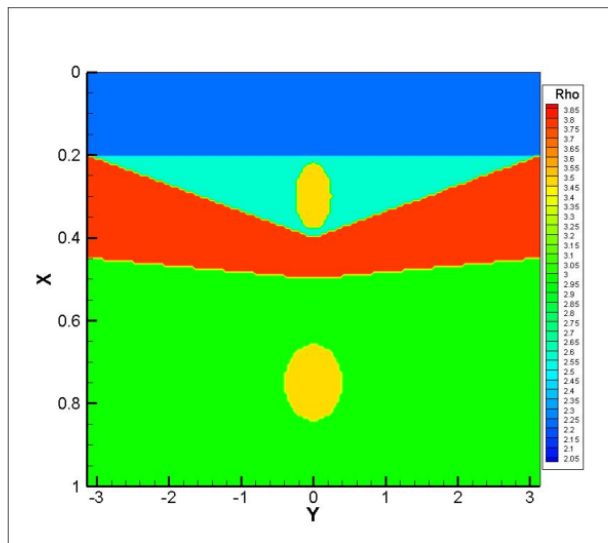
- SVD – красная кривая;

- Метод Монте-Карло с длинной цепью Маркова – синяя кривая.

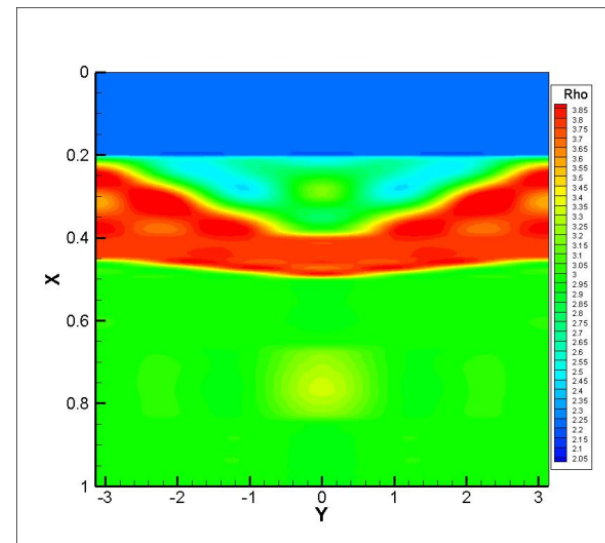
- Метод Монте-Карло с короткой цепью Маркова – синяя кривая.

Расчеты показали, что для необходимой точности достаточно рассмотреть короткую цепь Маркова.

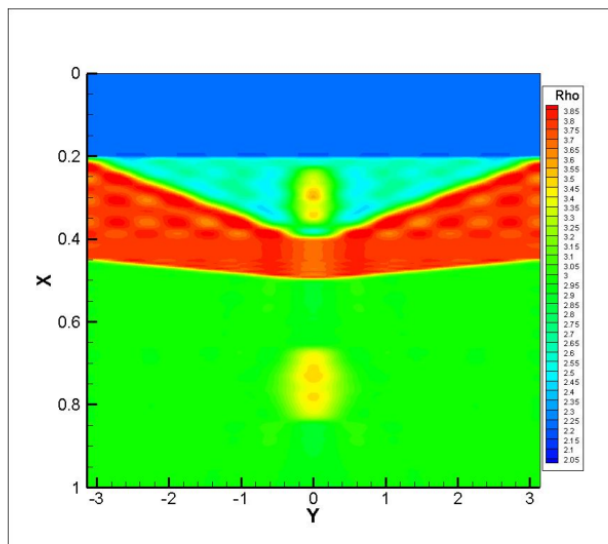




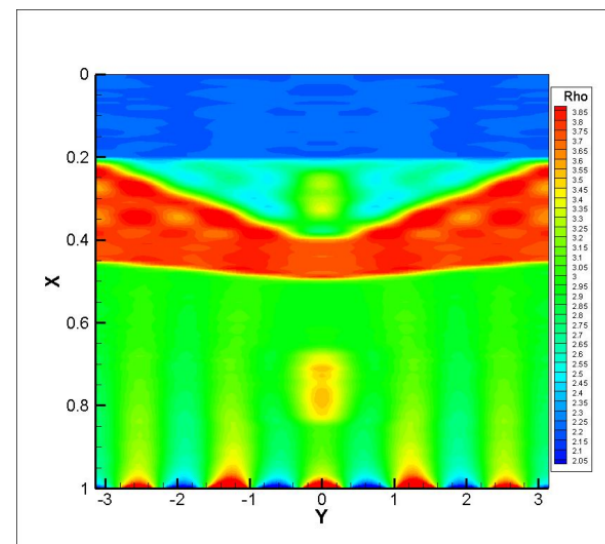
Exact solution



Reconstruction (7 sources)

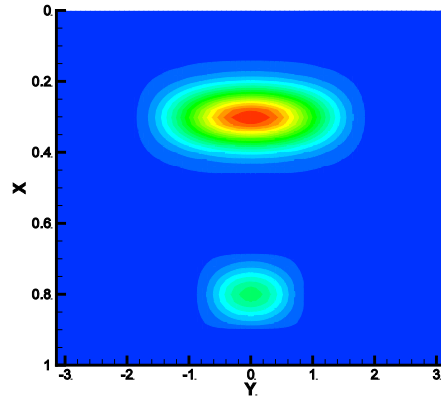


Reconstruction (15 sources)

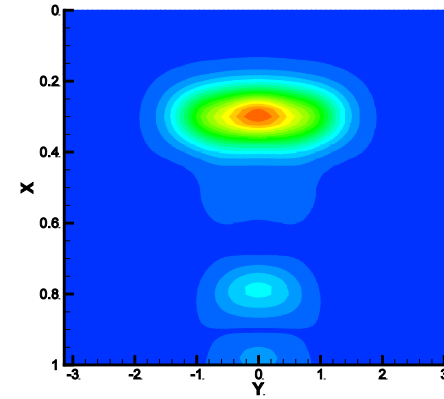


Reconstruction (15 sources,
noise 5%)

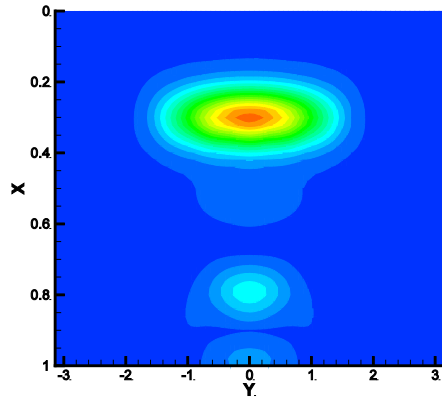
Численные расчеты



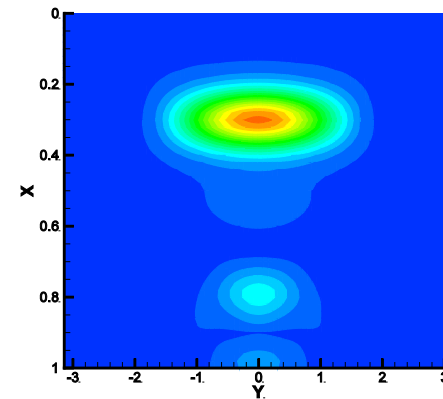
Точная модель



6 источников и 6 приемников

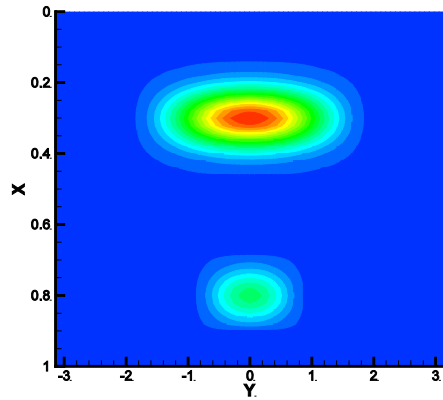


11 источников и 11 приемников

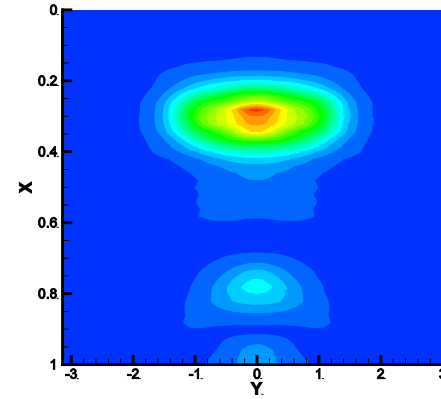


21 источник и 21 приемник

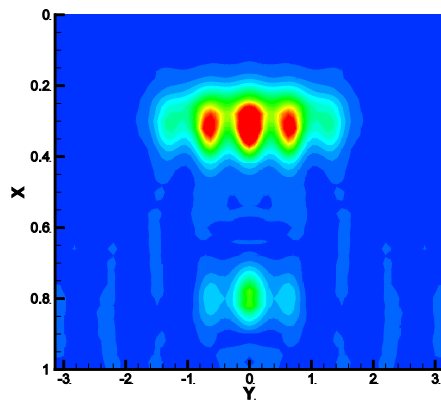
Численные расчеты, 2% ошибка



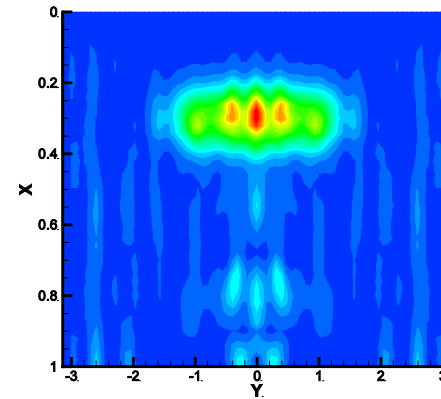
Точная модель



6 источников и 6 приемников

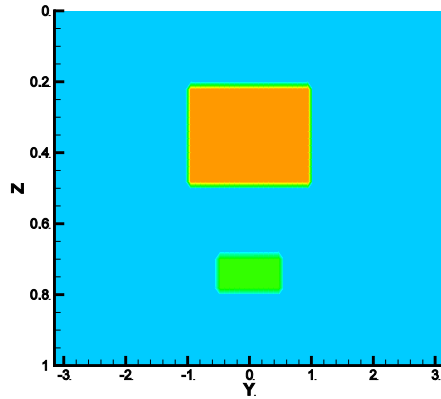


11 источников и 11 приемников

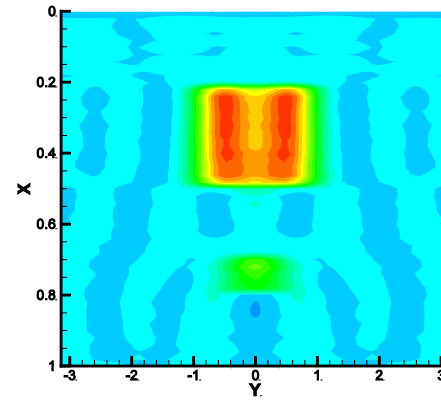


21 источник и 21 приемник

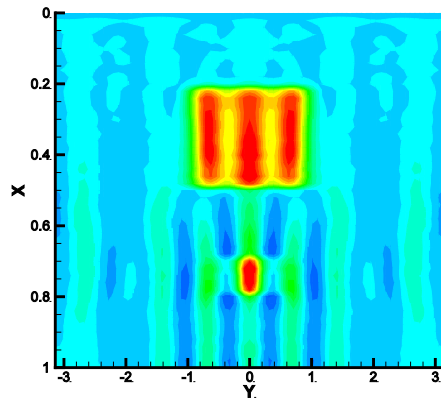
Численные расчеты, 2% ошибка



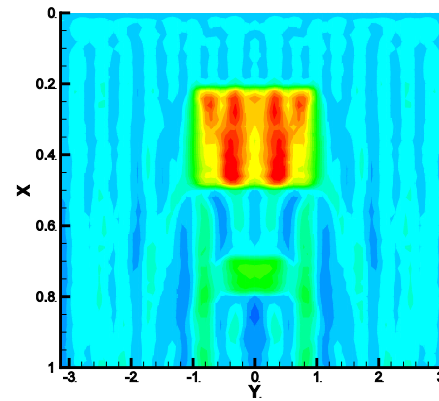
Точная модель



6 источников и 6 приемников



11 источников и 11 приемников



21 источник и 21 приемник

Последовательность прямых задач

$$c^{-2}(x, y)u_{tt}^{(k)} = \Delta u^{(k)}, \quad x \in R, \quad y \in R^2, \quad t > 0, \quad k = (k_1, k_2); \quad k_i = 0, \pm 1, \pm 2, \dots$$
$$u^{(k)}(x, y, 0) = 0; \quad u_t^{(k)}(x, y, 0) = e^{i(k, y)} \cdot \delta(x).$$

Требуется определить функцию $c(x, y)$ по дополнительной информации

$$u^{(k)}(0, y, t) = f^{(k)}(y, t)$$

Пусть $\tau(x, y)$ есть решение задачи Коши для уравнений эйконала

$$\tau_x^2 + \tau_y^2 = c^{-2}(x, y), \quad x > 0, \quad y \in R^2;$$
$$\tau(0, y) = 0, \quad \tau_x(0, y) = c^{-1}(0, y), \quad y \in R^2.$$

Введем новые переменные $z = \tau(x, y), \quad y = y$

и новые функции $v^{(k)}(z, y, t) = u^{(k)}(x, y, t), \quad b(z, y) = c(x, y)$

Многомерный аналог уравнения Крейна

$$\sum_m S^m(z, y) f_m^k(t - z) + w^{(k)}(z, y, t) + \sum_m \int_{-z}^z f_m^k(t - s) w^{(m)}(z, y, s) ds = 0,$$

$$|t| < z, \quad k = 0, \pm 1, \pm 2, \dots$$

$$w^{(m)}(z, y, t) = S^{(m)}(z, y) \delta(z - t) + Q^{(m)}(z, y) \theta(z - t) + \tilde{w}^{(m)}(z, y, t)$$

$$\begin{cases} 2S_z^{(m)} + qS_y^{(m)} + pS^{(m)} = 0, & z > 0, y \in R^2, \\ S^{(m)}(0, y) = \frac{1}{2} e^{i(m, y)} \end{cases}$$

$$\begin{cases} 2Q_{zz}^{(m)} = S_{zz}^{(m)} - [qQ_y^{(m)} + b^2 S_{yy}^{(m)} + pQ^{(m)}], & z > 0, y \in R^2, \\ Q^{(m)}(0, y) = 0 \end{cases}$$

Здесь

$$q(z, y) = 2b^2(z, y)\tau_y, \quad p(z, y) = b^2(z, y)(\tau_{xx} + \tau_{zz}), \quad b(z, y) = c(x, y).$$

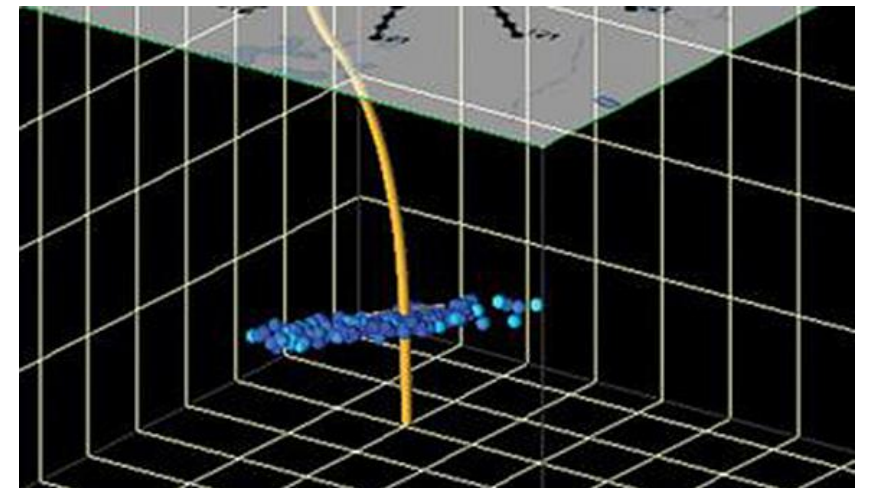
Микросейсмический мониторинг

Микросейсмический мониторинг является инновационной технологией контроля гидроразрыва пласта (ГРП).

Микросейсмика позволяет определять геометрию ГРП на достаточно больших расстояниях от места наблюдения (в скважинах или на поверхности), а также получать диагностические 3D изображения в процессе образования и развития разрыва.

Суть микросейсмического мониторинга заключается в регистрации сейсмоэмиссионных процессов, сопровождающих образование трещинной зоны ГРП. Технология позволяет получать данные для оперативной коррекции дизайна ГРП, минимизировать риски и оптимизировать увеличение отбора углеводородов при вовлечении в разработку трудноизвлекаемых запасов.

Существуют различные технологии скважинного и поверхностного микросейсмического мониторинга, базирующиеся, соответственно, на регистрации глубинного микросейсмического излучения как непосредственно в скважине ГРП, так и в соседних наблюдательных скважинах или на поверхности при помощи площадных сейсмических расстановок.



Микросейсмический мониторинг

$$c^{-2}(x, y, z)u_{tt} = \Delta u - \nabla \ln \rho(x, y, z) \nabla u$$

$$u|_{t=0} = \mathbf{q}(x, y, z), \quad u_t|_{t=0} = 0$$

$$u_x|_{x=0} = u_x|_{x=L_x} = u_y|_{y=0} = u_y|_{y=L_y} = u_z|_{z=0} = u_z|_{z=L_z} = 0$$

Обратная задача: определить $q(x, y, z)$ по дополнительной информации

$$u^m(x_m, y_m, z_m, t) = \mathbf{f}^m(t), m = 1, \dots, M.$$

Конечномерная дискретизация по пространству: прямая задача формулируется как задача Коши для уравнения второго порядка

$$U'' = AU, U(0) = Q, U'(0) = 0.$$

Здесь A – 7 диагональная матрица

Дискретизация по времени дает:

$$U^{k+1} - 2U^k + U^{k-1} = \tau^2 AU^k, k = 1, \dots, N - 1.$$

Рекуррентное соотношение

$$\begin{pmatrix} U^{k+1} \\ U^k \end{pmatrix} = \begin{pmatrix} 2I + \tau^2 A & -I \\ I & 0 \end{pmatrix} \begin{pmatrix} U^k \\ U^{k-1} \end{pmatrix} = \begin{pmatrix} 2I + \tau^2 A & -I \\ I & 0 \end{pmatrix}^k \begin{pmatrix} U^1 \\ U^0 \end{pmatrix} = \begin{pmatrix} B_{11}(k) & B_{12}(k) \\ B_{21}(k) & B_{22}(k) \end{pmatrix} \begin{pmatrix} U^1 \\ U^0 \end{pmatrix}$$

Размерность матриц B_{ij} : в 2D - 10^6 (число разбиений 1000), в 3D - 10^9 .

Микросейсмический мониторинг. Тензорное разложение (совместная работа с Е.Е. Тыртышниковым, ИВМ РАН)

Положение источника в точке (x_m, y_m) на поверхности зададим вектором

$$S^m = (0, \dots, 0, 1, 0, \dots, 0)$$

Тогда данные обратной задачи связаны с решением следующим соотношением – скалярное произведение векторов:

$$F^{k,m} = (S^m, U^k)$$

$$\begin{pmatrix} U^{k+1} \\ U^k \end{pmatrix} = \begin{pmatrix} B_{11}(k) & B_{12}(k) \\ B_{21}(k) & B_{22}(k) \end{pmatrix} \begin{pmatrix} (I + 0.5\tau^2 A)Q \\ Q \end{pmatrix}$$

$$U^k = (B_{21}(k) + B_{22}(k))Q = B(k)Q$$

$$(S^m, U^k) = (S^m, B(k)Q)$$

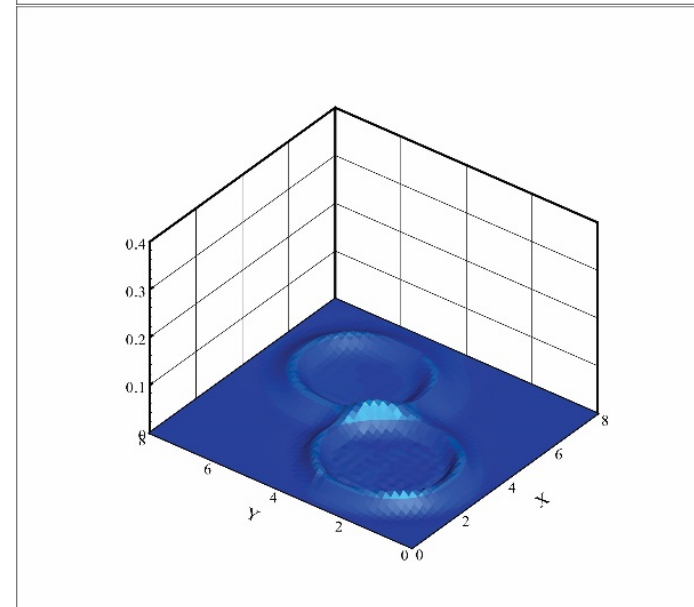
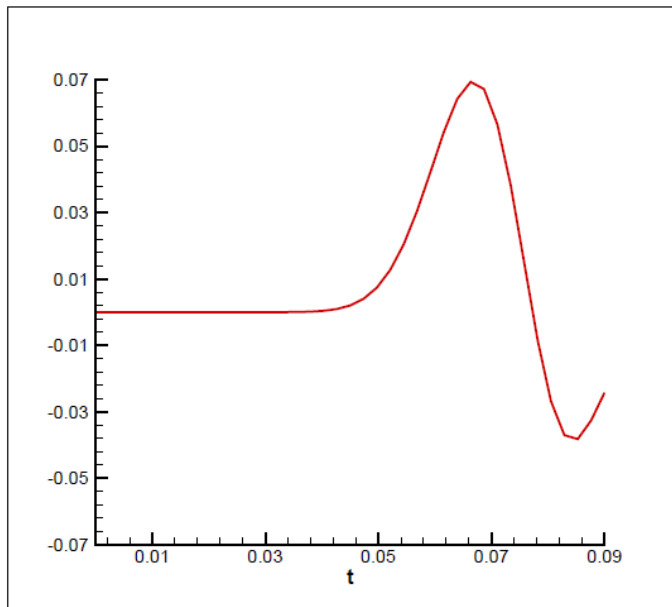
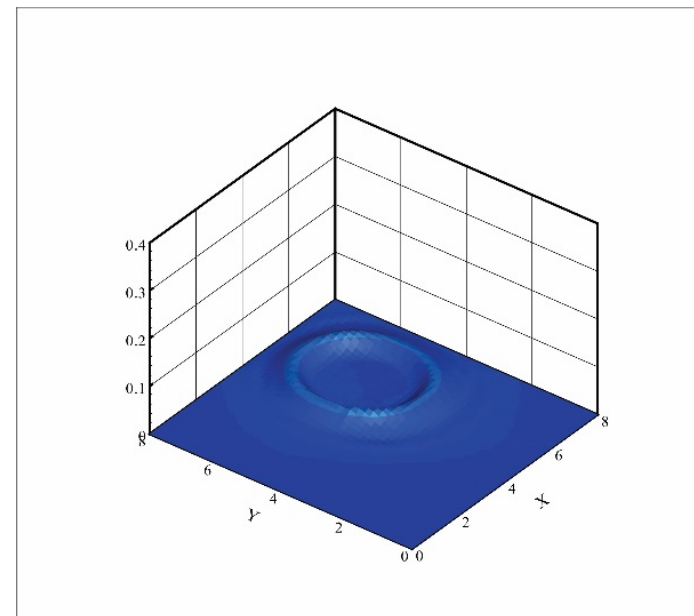
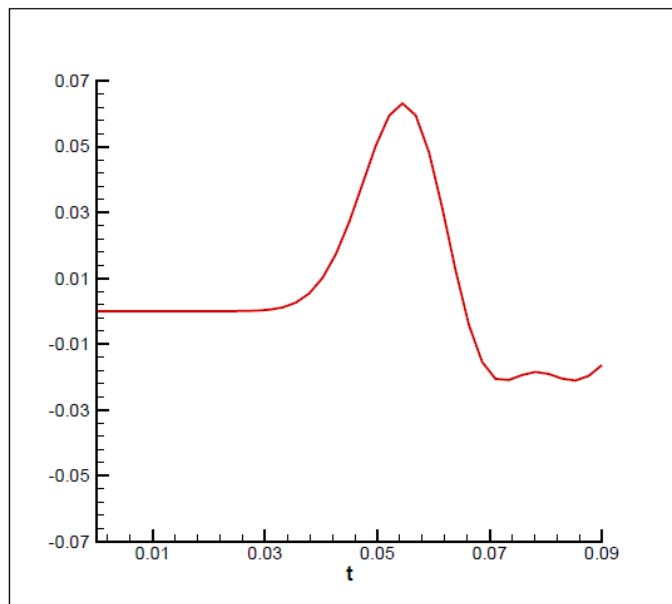
$$F^{k,m} = ([B(k)]^* S^m, Q), \quad k = 0, \dots, N.$$

Получим следующую систему алгебраических уравнений:

$$\begin{pmatrix} F^{0,m} \\ F^{1,m} \\ \vdots \\ F^{N,m} \end{pmatrix} = \begin{pmatrix} [B(0)]^* S^m \\ ([B(1)]^* S^m) \\ \vdots \\ ([B(N)]^* S^m) \end{pmatrix} Q, \quad m = 1, \dots, M.$$

Микросейсмический мониторинг. Тензорное разложение (совместная работа с Е.Е. Тыртышниковым, ИВМ РАН)

Тензорное разложение:
увеличение размера
сетки на порядок по
каждой переменной,
уменьшение требования
к памяти в несколько раз,
уменьшение времени
счета на порядок

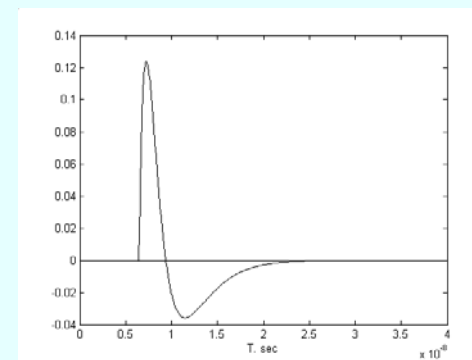
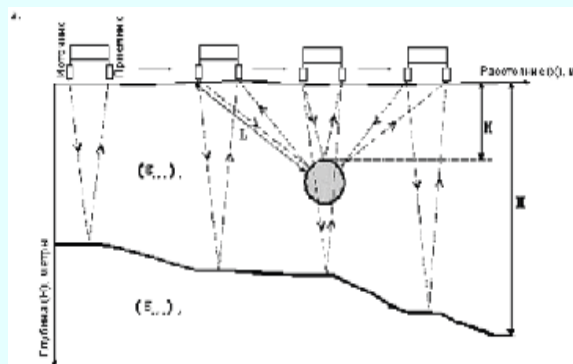
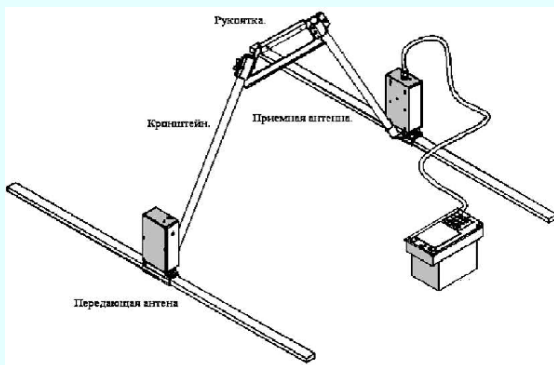


Георадар «ЛОЗА-В»

Диапазон рабочих частот 50-300 МГц

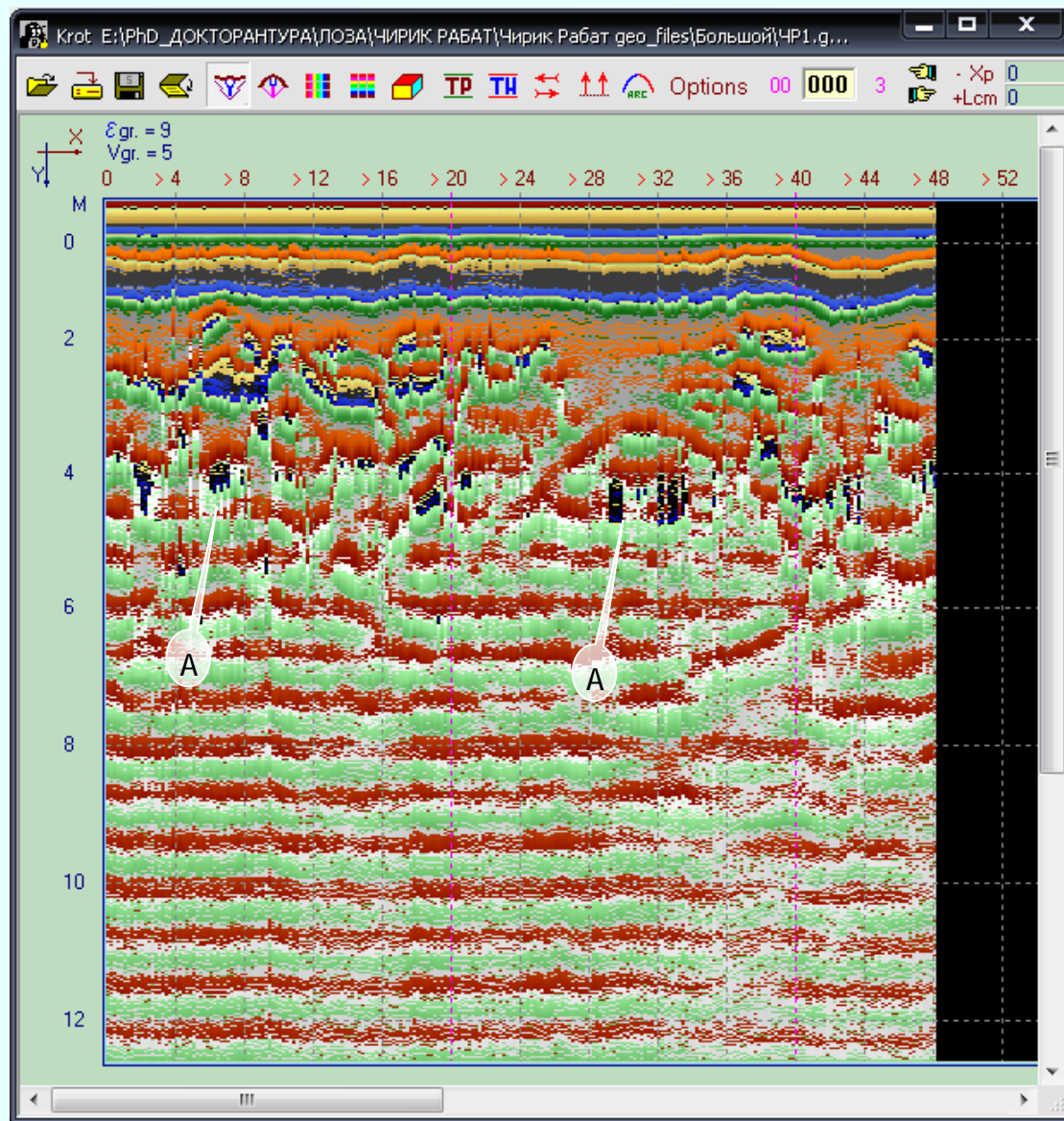
Дискретность отсчета данных - 1.2 наносекунд

Длина антенн - 1 м



Максимальная глубина зондирования в грунтах на частоте 100 МГц

Среда	ϵ	Глубина, м	Разрешение по глубине, м
Сухой песок	2.6	42	0.1
Влажный песок	25	25	0.03
Глина сухая	2.4	13	0.1
Глина влажная	15	3	0.07



Данные георадара

Диагностика взлетно-посадочной полосы аэродрома в Алматинской области.

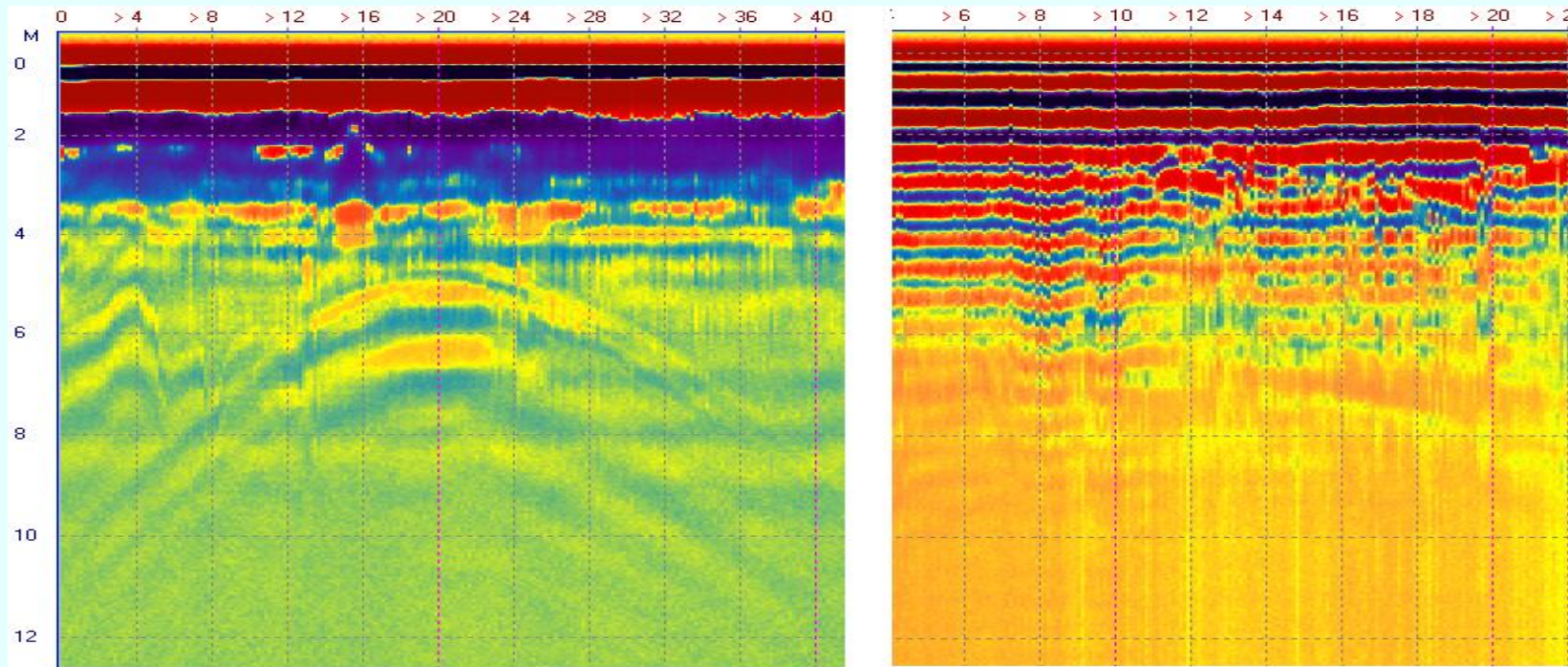
Участниками проекта по заказу коммерческого аэродрома, расположенного на территории Алматинской области Республики Казахстан была проведена диагностика участка взлетно-посадочной полосы с явным дефектом.

Требовалось провести исследование структуры грунта на предмет обнаружения причин дефекта поверхности полосы **неразрушающим методом.**



Результаты «просвечивания» участка взлетно-посадочной полосы

Диагностика структуры грунта проводилась с помощью георадара «Лоза». На полученных радарограммах наблюдается картина, характерная для отражения от подземного объекта (куполообразные волновые профили).



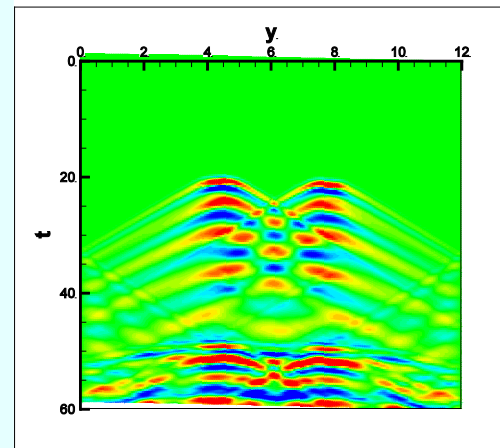
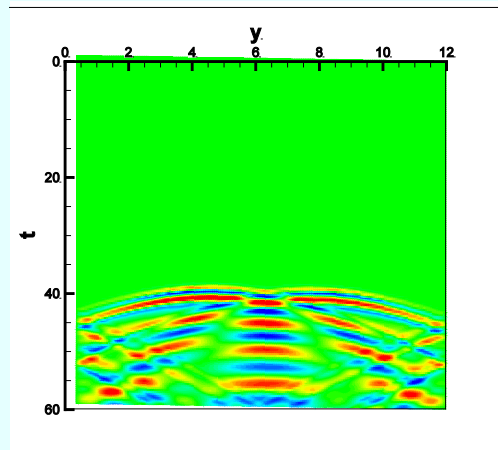
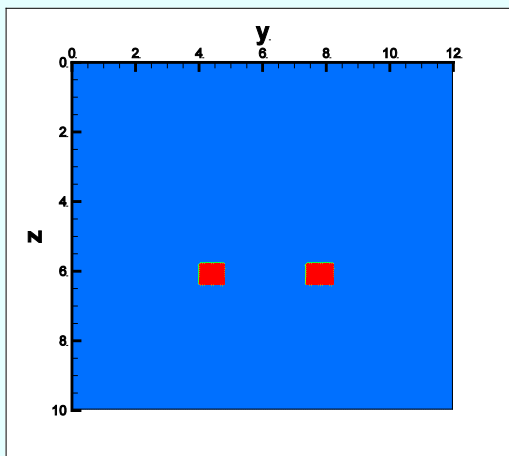
В результате обработки данных обнаружен объект типа трубы, который проходит по косой к взлетно-посадочной полосе.

Исследование курганов в Кызыл-ординской области Республики Казахстан с помощью георадара “Лоза”.

Была поставлена задача восстановить внутреннее строение насыпей в Кызыл-Ординской области и обнаружить древние места захоронения и осколки от могильных камней и мавзолеев.

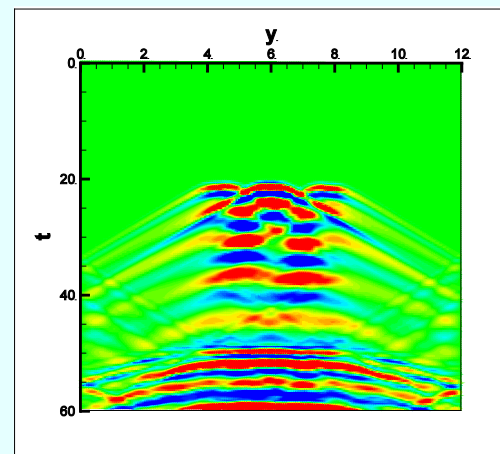
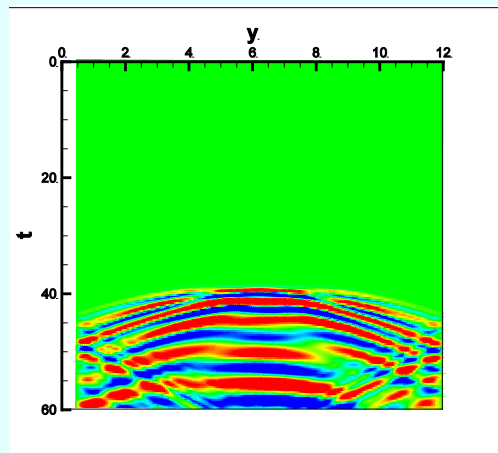
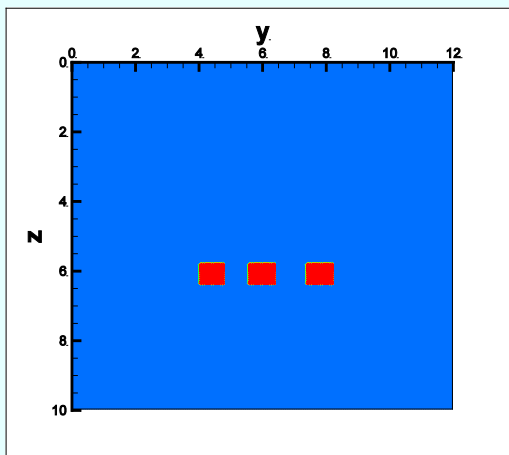
Просвечиваемый участок состоял из большого холма, малого холма и небольшого перешейка между ними.





Данные, измеряемые
на поверхности

Результат решения
задачи продолжения
до глубины 5 м



Благодарю за внимание!